



Corso Luigi Einaudi, 55 - Torino

Appunti universitari

Tesi di laurea

Cartoleria e cancelleria

Stampa file e fotocopie

Print on demand

Rilegature

NUMERO: 1118

DATA: 22/09/2014

A P P U N T I

STUDENTE: Spolverato

MATERIA: Elementi di Fisica Nucleare + temi

Prof. Lavagno

Il presente lavoro nasce dall'impegno dell'autore ed è distribuito in accordo con il Centro Appunti.

Tutti i diritti sono riservati. È vietata qualsiasi riproduzione, copia totale o parziale, dei contenuti inseriti nel presente volume, ivi inclusa la memorizzazione, rielaborazione, diffusione o distribuzione dei contenuti stessi mediante qualunque supporto magnetico o cartaceo, piattaforma tecnologica o rete telematica, senza previa autorizzazione scritta dell'autore.

**ATTENZIONE: QUESTI APPUNTI SONO FATTI DA STUDENTIE NON SONO STATI VISIONATI DAL DOCENTE.
IL NOME DEL PROFESSORE, SERVE SOLO PER IDENTIFICARE IL CORSO.**

Teoria della relatività

Nell'ultimo quarto del XIX secolo erano state formulate le leggi fondamentali dell'elettromagnetismo. La Teoria di Maxwell aveva svelato la natura elettromagnetica della luce. Tuttavia le intuizioni di Maxwell sollevavano problemi e contraddizioni sconcertanti che scuotevano le basi della conoscenza fisica e persino del senso comune. Dalla risoluzione di queste contraddizioni nacque la teoria della relatività.

Le eq. di Maxwell dicono che le onde elettromagnetiche possono esistere e che tutte queste onde si propagano alla velocità c . Velocità c relativa a che cosa? Ogni tipo di onda sembra avere una velocità caratteristica relativo al mezzo in cui si propaga. Qual è il mezzo attraverso il quale si propaga la luce? Tutte le esperienze riguardo alle onde suggeriscono che dovrebbe esistere un mezzo di propagazione, e che la velocità c che compare nelle equazioni di Maxwell dovrebbe essere la velocità relativo a quel mezzo. Gli scienziati del XIX secolo ritenevano che la luce si propagasse attraverso una sostanza tenue chiamata etere. I campi elettrico e magnetico venivano visualizzati come sforzi e deformazioni nell'etere.

Le esperienze di onde elettromagnetiche che si propagano alla velocità c è una conseguenza delle equazioni di Maxwell. Ma questo risultato potrebbe essere vero solo in un sistema di riferimento fisso rispetto all'etere, poiché, se ci muovessimo risp. all'etere, ci attendremmo che la luce si propaghi a una velocità diversa risp. a noi. Perciò, le equazioni di Maxwell, cioè, la descrizione dell'elettromagnetismo, devono essere presumibilmente corrette soltanto nel sistema di riferimento dell'etere.

In meccanica il concetto di moto assoluto è privo di significato; il principio di relatività galileiana stabilisce che le leggi della meccanica sono valide in tutti i sistemi di riferimento che si muovono di moto traslatorio rettilineo uniforme. Ma le leggi dell'elettromagnetismo devono essere valide soltanto nel sistema di riferimento dell'etere, poiché sembrava che soltanto in questo sistema di riferimento potesse essere corretta la previsione di onde elettromagnetiche propagantisi a velocità c .

Nacque spontaneo il problema del moto relativo della Terra rispetto all'etere. Si stabilì che l'etere non viene trascinato dalla Terra e la Terra si muove attraverso l'etere. Michelson e Morley tentarono di misurare la velocità della Terra rispetto all'etere e arrivarono alla conclusione che la Terra non si muove rispetto all'etere.

RELATIVITÀ RISTRETTA

Nel 1905, Albert Einstein propose una teoria che risolveva il dibattito e al tempo stesso modificava le fondamenta stesse del pensiero fisico. Einstein dichiarò che l'etere era solamente un'ipotesi filizica. Ma allora rispetto a che cosa la luce si muove alla velocità c ? Rispetto a chiunque l'osservi, dichiarò Einstein. Il suo significato è chiaro ed evidente: chiunque misuri la velocità della luce ottiene il valore $c = 3,0 \cdot 10^8 \text{ m/s}$. Le leggi della fisica non dipendono dal moto dell'osservatore. Einstein riassunse i suoi nuovi concetti nella teoria della relatività ristretta, che è espresso in questo semplice enunciato: le leggi della fisica sono le stesse in tutti i sistemi di riferimento in moto traslatorio rettilineo uniforme. Questo enunciato abbraccia tutte le leggi della fisica, comprese le leggi dell'elettromagnetismo. In assenza di etere, la previsione che le onde elettromagnetiche si propagano alla velocità c deve essere una previsione universale valida in TUTTI i sistemi di riferimento in moto traslatorio

FISICA NUCLEARE

La fisica moderna è nata alla fine dell'800 (dopo le equazioni di Maxwell)

Luce: grandezza quantizzata

$$c = \lambda \nu \rightarrow \text{frequenza}$$

\downarrow \downarrow
 velocità lunghezza d'onda
 di propagazione
 della luce

$$c = \frac{1}{\sqrt{\epsilon_0 \mu_0}}$$

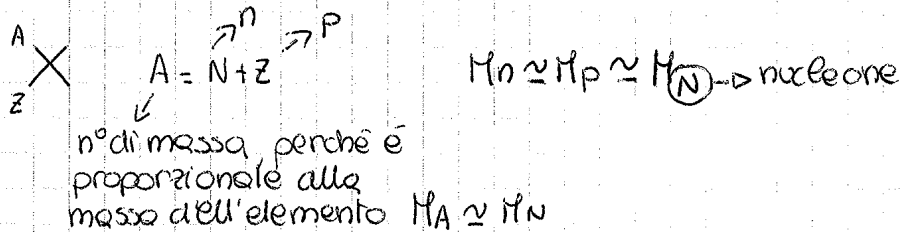
Il trasporto di energia E è direttamente proporzionale alla frequenza ν . Questo si comprende con l'effetto fotoelettrico. Il fotone trasporta un'energia

$$E_f = h\nu, \quad h = \text{cost}$$

I primi anni del '900 sono stati anni rivoluzionari per la scoperta di effetti subatomici, si è rivoluzionato il modo di pensare. I fenomeni microscopici sono fondamentali per la nuova tecnologia. Sarà fondamentale associare il moto delle particelle alle onde $\lambda = \frac{h}{p}$

PET: tomografia dell'emissione di positroni

$e^- + e^+$ → deriva dal decadimento radioattivo (β^+)

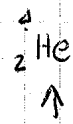


$$m_e \approx \frac{M_n}{2000}$$

\downarrow
massa elettrone



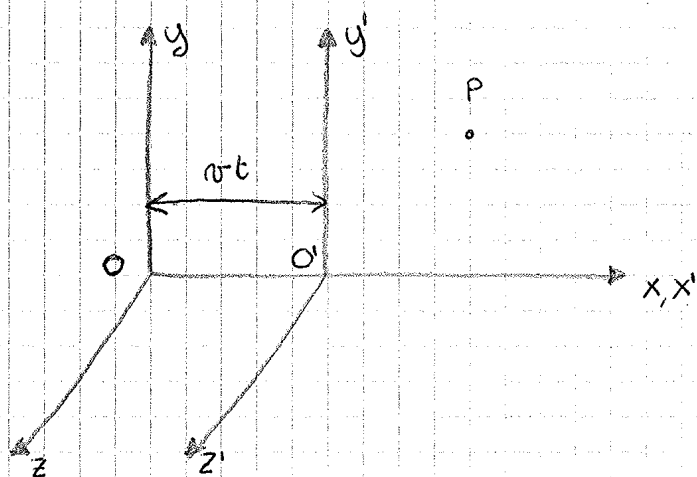
RTG: generatori termoelettrici a radioisotopi ${}^{226}\text{Ra} \rightarrow {}^{222}\text{Rn} + \alpha$



relazione di Einstein $E = mc^2$. m non ha nulla a che fare con la massa inerziale di Newton.

Trasformate di Galileo

cinematica relativa di due osservatori in moto relativo a velocità costante



$$\vec{v} = v_x \vec{u}_x \quad (v_y = v_z = 0)$$

Le trasformate di Galileo mi danno le relazioni dei due osservatori

$$\begin{cases} x' = x - vt \\ y' = y \\ z' = z \\ t' = t \end{cases}$$

$$\begin{cases} u_x' = u_x - v \\ u_y' = u_y \\ u_z' = u_z \end{cases}$$

$$u_x = u_x' + v$$

Velocità di P per i due osservatori

$$\begin{aligned} u_x &= \frac{dx}{dt} \\ u_y &= \frac{dy}{dt} \\ u_z &= \frac{dz}{dt} \end{aligned}$$

$$\begin{aligned} u_x' &= \frac{dx'}{dt'} = \frac{dx}{dt} \\ u_y' &= \frac{dy'}{dt'} = \frac{dy}{dt} \\ u_z' &= \frac{dz'}{dt'} = \frac{dz}{dt} \end{aligned}$$

Gli intervalli di tempo sono = per tutti gli osservatori ($t = t'$)

con la relatività galileiana. Tali eq. risultavano avere forme diverse a seconda del sistema di riferimento inerziale scelto.

A quei tempi si riteneva che lo spazio fosse formato da una sostanza invisibile a cui i fisici diedero il nome di etere e che ogni corpo in movimento nell'universo producesse un vento etere che si muoveva alla stessa velocità del corpo in movimento ma con direzione opposta.

Qualsiasi cosa immersa nell'etere sarebbe influenzata dal vento, compresa la luce. Michelson decise di provare a misurare la velocità della luce in diverse direzioni per vedere se si trovava traccia del vento etere, usando un interferometro. Questo oggi permette di suddividere un fascio di luce in due fasci che viaggiano seguendo cammini \perp e vengono poi fatti nuovamente convergere su uno schermo, formando una figura d'interferenza. Un eventuale vento dell'etere avrebbe comportato una diversa velocità della luce nelle varie direzioni e, di conseguenza, uno scorrimento delle frange d'interferenza, al ruotare dell'apparato rispetto alla direzione del vento dell'etere. Michelson effettuò un certo n° di misure ma non rilevò nessun tipo di spostamento delle frange d'interferenza, tuttavia il suo apparecchio non aveva la precisione suff. per escludere con certezza l'esistenza del movimento dell'etere. Successivamente con Morley vennero fatti degli accorgimenti per ottenere risultati più precisi: venne usato un interferometro montato su una lastra di pietra quadrata di 15 cm di lato e 5 di spessore. Per eliminare le vibrazioni la lastra veniva fatta galleggiare su mercurio liquido. Questo accorgimento permetteva di mantenere la lastra orizzontale e di farla girare attorno ad un perno centrale.

Einstein formula 2 principi che impongono l'abbandono del fatto che l'elettromagnetismo sia il mezzo privilegiato per la propagazione e sostiene che le trasformate di Galileo e le stesse dinamiche devono essere riformulate.

in una maniera più corretta. I due postulati sono i seguenti:

1° Tutte le leggi della fisica sono invarianti in tutti i sistemi di riferimento inerziali

2° la velocità della luce nel vuoto ha lo stesso valore in tutti i sistemi di rif. inerziali

Se 2° postulato dice chiaramente che le trasformate di G. non sono corrette, perché nelle t. di G. non c'è nessuna velocità di riferimento, e si sottraggono e si sommano a seconda delle velocità relative tra i 2 osservatori.

Lorentz avendo la forza elettromagnetica $\vec{F}_{EM} = q(\vec{E} + \vec{v} \times \vec{B})$ si chiede quali sono le trasformate che rendono invariata la F_{EM} per sistemi di riferimento inerziali.

$$\vec{F}_{EM}(x, y, z, t) \neq \vec{F}_{EM}(x', y', z', t')$$

Lorentz si chiede quali siano le trasformate che lavorano invarianze la F_{EM} , tale per cui questo confronto sia un'uguaglianza

Se applico le trasf. di G. la forza elettromagn. che si ottiene per un osservatore è \neq delle per un altro osservatore

Trova delle trasformate che prendono il nome di trasformate di Lorentz che sono simili a quelle di G. per certi aspetti

Hp: Considero due sist di rif. inerziali contrati in O e O' e una velocità relativa tra i 2 sistemi di riferimento inerziali con unica

costante $\bar{v} = \bar{v} \bar{u}_x = \text{COSTANTE}$

$$|z| = ct$$

$|z'| = ct'$ \rightarrow se avessimo seguito calcolo sarebbe stato $|z'| = c't'$

Einstein dice che $c=c'$ (2° postulato), noi sappiamo che $z \neq z'$

allora $t \neq t'$, l'intervallo di tempo è diverso nei 2 sistemi di rif

Le trasformate di Lorentz discendono dal 2° principio. Questa

ipotesi molto strana che c sia lo stesso in tutti i sist di riferimento

è un'ipotesi che è stata dimostrata che va a soddisfare il 1°

principio dell'elettromagnetismo, cioè che questo resta invariante

per tutti i sist inerziali

Se sono vere le trasformate di Lorentz, lo spazio diventa in 4

dimensioni

Qual è la relazione tra le 2 velocità nei sistemi di rif. se valgono quelle trasformate?

$$u_x' = \frac{dx'}{dt'} = \frac{dx' [d(x)]}{dt'} = \textcircled{*} \quad u_x = \frac{dx}{dt}$$

derivato di funzione di funzioni: la derivata di x' dipende da x che a sua volta dipende da t . Regola di Leibniz per calcolare la derivata

$$\textcircled{*} = \frac{dx'(t)}{dt} \cdot \frac{dt}{dt'} = \frac{(u_x - v) \gamma'(v)}{\frac{dt'}{dt}} = 0$$

studio il denominatore: $\frac{dt'}{dt} = \left(1 - \frac{u_x v}{c^2}\right) \gamma(v)$

$$0 = \frac{(u_x - v) \gamma(v)}{\left(1 - \frac{u_x v}{c^2}\right) \gamma(v)}$$

sugli altri assi cartesiani

$$u_y' = \frac{dy'}{dt'} = \frac{dy'}{dt} \cdot \frac{dt}{dt'} = \frac{u_y}{\left(1 - \frac{u_x v}{c^2}\right) \gamma(v)}$$

costante; ma se io mi muovo con la biro in mano l'altro osservatore in O vedrà la biro muoversi a v cost

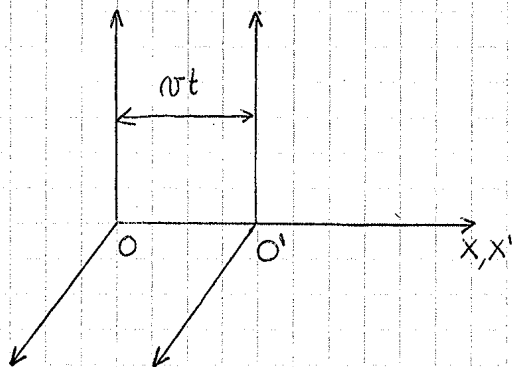
$$L(v) = x_2(t_2) - x_1(t_1)$$

$$t_2 = t_1$$

per l'osservatore in O è più difficile calcolare la lunghezza perché la biro è in movimento. x_2 è misurato

in t_2 e x_1 in t_1 e necessariamente abbiamo le misure in simultaneità degli estremi in cui $t_2 = t_1$. Invece per il mio sistema di riferimento non ho questa conclusione perché per me la biro è ferma e vale per ogni t_1, t_2

Come sono legate le 2 lunghezze della biro nei 2 sistemi di riferimento?



Potrebbe essere utile scrivere le trasformate inverse delle coordinate

$$\begin{cases} x = (x' + vt') \gamma(v) \\ y = y' \\ z = z' \\ t = \left(t' + \frac{x'v}{c^2} \right) \gamma(v) \end{cases}$$

↑
TRASFORMATE INVERSE

$$\begin{cases} x' = (x - vt) \gamma(v) \\ y' = y \\ z' = z \\ t' = \left(t - \frac{xv}{c^2} \right) \gamma(v) \end{cases}$$

↑
TRASFORMATE DIRETTE

Tornando al nostro problema, devo trovare la lunghezza della biro nel sistema di riferimento O

Nel mio sistema di riferimento O' la sorgente e^- è a riposo, quindi i due raggi luminosi emessi a tempi t_1 e t_2 sono originati nella stessa posizione $X_1' = X_2'$

Ora supponendo di conoscere l'intervallo temporale nel mio sistema di riferimento vado a calcolare quello nel sistema di riferimento O

$\Delta t(\nu) = t_2 - t_1 \Rightarrow$ uso le trasformate inverse perché so che $X_1 = X_2$

$$\Delta t(\nu) = t_2 - t_1 = \left(t_2' + \frac{X_2'(\nu)}{c} \right) \gamma(\nu) - \left(t_1' + \frac{X_1'(\nu)}{c} \right) \gamma(\nu) =$$

$$= \boxed{(t_2' - t_1') \gamma(\nu)} \rightarrow \text{variazione temporale nel sistema } O$$

Perché $\gamma(\nu) > 1$ sempre i tempi risulteranno essere dilatati, cioè
ne nel mio sistema (O') dura un secondo, nell'altro dura + di un
secondo. e sarà tanto > quanto sarà lo sorgente rispetto

all'osservatore in O

$$\boxed{\Delta t(\nu) = \Delta t(\phi) \gamma(\nu)}$$

Su questo effetto è basata la tecnologia, l'accelerazione delle particelle
 ad esempio GPS sui satelliti.

$$\begin{cases} L(\nu) = \frac{L(\phi)}{\gamma(\nu)} \\ \Delta t(\nu) = \Delta t(\phi) \gamma(\nu) \end{cases}$$

- CONFERMA SPERIMENTALE DI TALI EFFETTI

MUONI : particelle simili agli elettroni

Sulla superf. della terra arriva una grande quantità di radiazione
 dallo spazio : RAGGI COSMICI. Se navicelle spaziali devono tenere conto di
 questo, le radiazioni possono danneggiare l'elettronica, quindi questa
 radiazione deve essere schermata nelle navicelle spaziali.

va, pesato sulle vite medie del nostro sistema di rif

Esempio

$$L = 10^4 \text{ m} \quad v = 0,98c$$

$$T = \frac{L}{v} = 34 \cdot 10^{-6} \text{ s} = 21,8 T_0 = 4,36 T \quad T = T_0 \gamma(v)$$

$$v = 0,98c \rightarrow \gamma = 5$$

$$T = \frac{L_0}{\gamma(v)v} = 4,36 T_0$$

I raggi giungono sulla terra per effetto della dilatazione dei tempi e riduzione della lunghezza

Dinamica relativistica

10/03/2014

È fondamentale conoscere la relazione tra la massa della particella e l'energia che questa può somministrare

Se trasformo di Lorentz ci fanno capire che le leggi della dinamica vanno cambiate

La dinamica Newtoniana $F = ma$, le velocità si confrontano con le T.G.

La dinamica di una particella, se questa non interagisce è descritta da una energia cinetica che dipende dalla velocità quadraticamente

DINAMICA DI UNA PARTICELLA CON VELOCITÀ v

$$K = \frac{1}{2} m v^2$$

$$\vec{p}(v) = m \vec{v}$$

⇓

$$K(p) = \frac{p^2}{2m}$$

quantità di moto: altro eq. fondamentale della dinamica

anche questa è un'eq. che dipende da v ed è lineare

→ in cinetica in funz. delle quantità di moto

Se siamo in dinamica relativistica, quindi non vale la condizione $\frac{v}{c} \ll 1$

limite nel quale le trasformazioni di Lorentz si riducono a T.G.

Deve quindi essere modificata la relazione tra energia e velocità e quantità di moto e velocità.

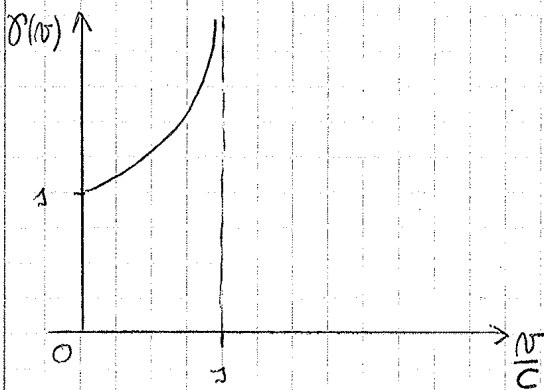
Vogliamo tenere conto di una teoria più ampia che consideri il fatto che uno stato iniziale può trasformarsi in uno stato finale che non ha nessuna

$$p(\nu) = g(\nu) = \gamma(\nu) \rightarrow T \text{ di } L$$

Quando $v \ll c$ abbiamo un contenuto che non ha nessuna componente nelle dinamiche Newtoniane

Uno stato iniziale con una certa massa m si può trasformare in uno stato finale con massa $m \neq$ e con un'energia cinetica \neq

$$\gamma(\nu) = \left(1 - \frac{\nu^2}{c^2}\right)^{-\frac{1}{2}} = \frac{1}{\sqrt{1 - \frac{c^2}{\nu^2}}}$$



$$\begin{cases} E = \gamma(\nu) m c^2 \\ \vec{p} = \gamma(\nu) m \vec{\nu} \end{cases} \quad \text{EQ. della DINAMICA RELATIVISTICA}$$

nelle dinamiche relativistiche massa propria della particella, massa inerziale e massa gravitazionale coincidono

$$E = m(\nu) c^2$$

\hookrightarrow è una massa dinamica; $m(\nu) = m \gamma(\nu)$

A volte $m = m_0 \rightarrow$ massa a riposo della particella

Un oggetto con $m \neq 0$, per portarlo ad una velocità prossima a quella della luce ci vuole un'energia ∞ , perché la funz γ diverge. È come se la particella si "gonfiasse" e acquistasse una massa che tende

Abbiamo dimostrato che la dinamica relativistica tende a quella non relativistica nel limite $\frac{v}{c} \ll 1$

l'energia viene conservata $E_i = E_f$

conservazione dell'energia

$$m_i c^2 + K_i = m_f c^2 + K_f$$

↓
masse a rip. iniziale

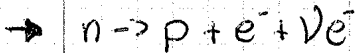
↓
en. cin. iniz.

Vale anche $\vec{p}_i = \vec{p}_f$

VARIAZIONE DI MASSA

$$Q = (m_i - m_f) c^2 = K_f - K_i$$

La reazione può venire spontaneamente se $Q > 0$ se $Q < 0$ non posso passare spontaneamente



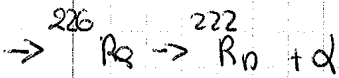
stato iniziale $K_i = 0$, massa = $M_n \rightarrow E_i = M_n c^2$

stato finale massa $p, m_{e^-}, m_{\bar{\nu}_e}$, K_f (en. cinetico s. finale)

quindi $Q = (M_n - M_p - M_{e^-} - M_{\bar{\nu}_e}) c^2 > 0$

se $\bar{\nu}_e \rightarrow 0$ la reazione può venire spontaneamente

$$Q = K_p + K_e + K_{\bar{\nu}}$$



$$Q = (M_{\text{Ra}} - M_{\text{Rn}} - M_{\alpha}) c^2 = K_{\text{Rn}} + K_{\alpha}$$

$$[M_N(N, Z) - (NM_n Z) + K_p] c^2 = \text{B.E} < 0 \rightarrow \text{la massa del nucleo } \neq \text{dalla } Z \text{ della massa dei costituenti}$$

si ripercorre in una vena di massa

energia di legame

Il principio di equivalenza massa-energia è fondamentale nelle reazioni nucleari.

se siamo in questo regime K^2 è trascurabile

$$p^2 c^2 \approx 2 m c^2 K \Rightarrow K = \frac{p^2}{2m} \rightarrow \text{siamo tornati alle } K \text{ in regime N.R.}$$

2) **CASO ULTRA RELATIVISTICO** $K \gg m c^2$

$$p^2 c^2 \approx K^2$$

$$K \approx p c \quad m \neq 0$$

Per essendo $m \neq 0$, questo viene trascurato e si considera come un oggetto viaggiante alla velocità prossima della luce

$$K = E - m c^2 \rightarrow \text{sostituisco}$$

$$p^2 c^2 = E^2 + m^2 c^4 - 2 E m c^2 + 2 m c^2 E - 2 m^2 c^4 \rightarrow p^2 c^2 = E^2 - m^2 c^4$$

$$E^2 = p^2 c^2 + m^2 c^4$$

$$E = \sqrt{p^2 c^2 + m^2 c^4} \quad \text{energia totale in funzione di } p$$

- ① $E = \gamma(\nu) m c^2$
- ② $p = \gamma(\nu) m \nu$
- $K(\nu) = m c^2 (\gamma - 1)$

Se un partecello $m \neq 0$ non viaggia alla velocità della luce è necessario una energia ∞ affinché questa corra alla velocità della luce

Una certa partecello m con p a quale velocità viaggia?

Divido membro a membro l'eq. 2 con l'eq. 1 e ottengo una relazione con la velocità

$$\frac{2}{1} \Rightarrow \nu = c^2 \frac{p}{E}$$

$$\nu = c^2 \frac{p}{\sqrt{p^2 c^2 + m^2 c^4}} = c \frac{1}{\sqrt{1 + \frac{m^2 c^2}{p^2}}}$$

velocità in funzione della quantità di moto

EFFETTO FOTOELETTRICO

I dati sperimentali indicavano che, per ogni lunghezza d'onda studiata, la luce che incideva su una superficie metallica produceva su quella superficie un potenziale elettrico, ma una luce di maggiore intensità non produceva un potenziale più alto.

Oggi si sa che la luce di maggiore intensità determina l'emissione di un maggior numero di elettroni da una superficie, ma non l'emissione di elettroni di energia più alta. Se la lunghezza d'onda è maggiore di un certo valore per ciascuna superficie, non vengono emessi elettroni indipendentemente dall'intensità della luce. La luce di lunghezza d'onda λ , l'altra parte determina l'emissione di elettroni di energia maggiore.

Gli elettroni vengono emessi non appena la luce incide sulla superficie, senza ritardo. Questi fatti non si possono spiegare con la fisica classica, poiché, classicamente, il quadrato della intensità del campo elettrico E è direttamente proporzionale all'intensità della luce incidente; quindi, anche la forza agente su un elettrone, eE , dovrebbe crescere al crescere dell'intensità della luce incidente e gli elettroni dovrebbero acquistare una maggiore energia cinetica. MA si osservò che, in un ampio intervallo d'intensità della luce incidente, l'energia cinetica massima degli elettroni emessi era costante. Quindi era necessaria una nuova spiegazione dell'effetto fotoelettrico.

Per spiegare l'effetto fotoelettrico Einstein prese l'ipotesi di Planck della quantizzazione della energia. Einstein fece l'ipotesi che la luce fosse realmente costituita da quanti discreti, da granuli di energia, detti fotoni. Ogni fotone ha un'energia data da $E = h\nu$ dove

costante di Planck

ν : frequenza della luce

N.B. La frequenza della luce incidente deve essere maggiore di un certo valore ν_0 , frequenza di taglio, altrimenti l'effetto fotoelettrico non si verifica.]

Questa formula lega l'energia di un fotone con la frequenza della luce, e la costante di Planck; il legame tra le due grandezze.

Secondo la teoria di Einstein dell'effetto fotoelettrico, ogni superficie ha un lavoro di estrazione ϕ caratteristico che è la quantità minima di energia necessaria per estrarre un elettrone da quella superficie ed è determinato dal tipo di metallo. Poiché la quantità di energia che incide sulla superficie di un fotone è $h\nu$, la quantità di energia di un elettrone che abbandona la superficie è $h\nu - \phi$, diminuita dell'eventuale quantità di energia che l'elettrone perde nell'attraversare il metallo. Se si suppone che tale perdita sia nulla, l'elettrone riuscirà a fuggire dalla superficie soltanto per

$$h\nu = \phi > 0, \nu > \frac{\phi}{h}$$

Per ciò, soltanto i fotoni che hanno una frequenza abbastanza alta sono capaci di estrarre elettroni. Poiché $\lambda = \frac{c}{\nu}$, soltanto i fotoni con lunghezza d'onda minore di $\lambda = \frac{hc}{\phi}$ sono capaci di estrarre ν elettroni.

L'effetto fotoelettrico fu uno dei primi effetti fisici importanti ad essere spiegato mediante la teoria quantistica anziché mediante la teoria ondulatoria classica. La fisica classica non riuscì a spiegare perché l'energia degli elettroni varia al variare della frequenza della luce incidente e perché non varia al variare dell'intensità della luce. Inoltre la fisica classica non riuscì a spiegare perché gli elettroni venivano emessi istantaneamente. Con l'ipotesi dei quanti di Einstein ogni singolo fotone è capace di estrarre un elettrone.

Einstein ricevette il premio Nobel per la fisica nel 1921 per la sua spiegazione dell'effetto fotoelettrico.

Se curve a \neq intensità vanno a zero nello stesso punto ($|\Delta V|$)

Se la corrente va a 0 ci aspettiamo che gli elettroni vengono emesse con \neq energie cinetiche, però quando non ne abbiamo più vuol dire che la d.d.p è tale da frenare anche gli elettroni più veloci
La ΔV moltiplicata per la carica è un'energia potenziale che trasforma l'en. cinetica iniziale dell'elettrone e lo ferma.

Quindi all'inizio abbiamo l'en cinetica dell'elettrone (Ke_{max}) che viene compensata dall'energia potenziale

$$e|\Delta V|_1 = Ke_{max}$$

\rightarrow misura l'en. cinetica max degli elettroni che sono stati emessi

Questa relazione non dipende dall'intensità: Diciamo che a fissata frequenza ν della radiazione Ke_{max} vale per I_1, I_2, I_3 .

1ª PROPRIETÀ: l'energia cinetica max degli elettroni che vengono emessi quando vengono colpiti dalla luce, è indipendente dall'intensità della luce, fissa la sorgente di luce.

$$e|\Delta V_2| = Ke_{max}^{(2)} \rightarrow \nu_2$$

2ª PROPRIETÀ: gli elettroni vengono emessi istantaneamente non appena la lamina metallica è colpita dalla luce

C'è un effetto di soglia sulla corrente; se cambio la sorgente con frequenza più bassa, continuo a vedere l'effetto fotoelettrico, se la diminuisco ancora l'effetto fotoelettrico scompare. Quindi l'effetto fotoelettrico lo trovo solo per delle sorgenti $>$ di una certa frequenza di taglio

$$e\Delta V_1 = Ke_{max}^{(1)} \quad ; \quad \Delta V_2 = Ke_{max}^{(2)}$$

$$\downarrow \quad \quad \quad \downarrow$$

$$V_1 \quad \quad \quad V_2$$

PROPRIETÀ dell'EFFETTO FOTOELETTRICO

de frequenza di soglia $\nu_0 = \frac{\phi}{h}$

l'energia cinetica max arriva dalla radiazione che incide, nel caso migliore l'energy K_{max} "si prende" tutta l'energia della radiazione incidente

$$E_{RAD} = h\nu \quad (\text{energia della radiazione})$$

un po' va persa per il potenziale un po' per il materiale

h : costante di Planck ha le dimensioni di energia per un tempo

La radiazione incidente trasmette secondo la dinamica relativistica

anche una quantità di moto $p = \frac{E}{c} = \frac{h\nu}{c}$

Possiamo pensare l'effetto fotoelettrico solo in termini corpuscolari

dove abbiamo oggi corpuscolari i FOTONI che sono oggetti con massa

$= 0$, viaggiano alla velocità della luce, trasportano una certa

energia e una certa quantità di moto che è direttamente

proporzionale alla frequenza

La variazione elettromagnetica può essere vista come un insieme di corpu-

coli con $m_0 = 0$ con $v=c$ che trasporta ciascuno un quanto di energia

Quindi E degli oggetti con massa $= 0$ con $v=c$ e $p \neq 0$

Il fotone fa sbalzare via l'elettrone dalla targhetta metallica e

questo effetto dipende solo dalla frequenza e non dall'intensità

l'intensità rappresenta la quantità di fotoni che colpisce la targhetta;

ma il fatto che ce ne siano di più significa soltanto che aumenta

la corrente, ma non c'entra niente con la K_{max} .

carica elettrica dell'elettrone: $1,6 \cdot 10^{-19} \text{ C}$

$$\begin{matrix} \uparrow \\ \textcircled{e} \text{ } \Delta V \\ \downarrow \end{matrix} = 1,6 \cdot 10^{-19} \text{ J} = 1 \text{ eV}$$

d.d.p di 1V

$$1 \text{ MeV} = 1,6 \cdot 10^{-13} \text{ J}$$

l'effetto fotoelettrico non è spiegabile con le onde elettromagnetiche

$$\lambda \nu = c$$

Con i decadimenti radioattivi β^+ vengono emesse delle particelle opposte agli e^- , ossia particelle con stessa carica, ma opposta, i positroni (e^+)

Quando i positroni incontrano la materia capita una reazione spiegabile solo in termini quantistici: questi 2 corpi scompaiono e abbiamo

l'emissione di 2 raggi γ



Analizziamo la reazione:

- applico il principio di conservazione di energia e quantità di moto alla reazione supponendo, per semplicità, che $K_{e^+} = K_{e^-} \approx 0$ l'en. cinetica iniziale delle particelle è = a 0.

La massa di e^- coincide con la massa di e^+ ; la sua massa a riposo moltiplicata per c^2 ci dà un'energia

$$\underline{m_{e^-} c^2} = \underline{m_{e^+} c^2} = 0,5 \text{ MeV} \rightarrow \text{in questo modo misuro le masse sulle scale di energia}$$

(la correzione sull'energia cinetica iniziale è molto piccola, quindi l'approssimazione è accettabile)

- Conservazione dell'energia

$$\text{en. iniziale essendo } K=0 \rightarrow \boxed{2 m_e c^2} = \boxed{h \nu_1 + h \nu_2}$$

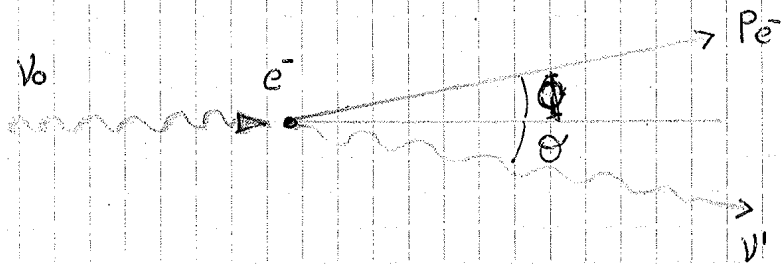
en. iniziale en. finale

non sappiamo quale sia la frequenza ma la vogliamo determinare

i 2 raggi γ trasportano una certa energia legata alle sue frequenze

Un'ulteriore dimostrazione della natura corpuscolare della luce è l'EFFETTO COMPTON. È strettamente imparentato con l'effetto fotoelettrico; la diff. è che mentre nell'eff. F. l'elettrone è radicato qui è legato ma l'energia da legame viene completamente trascurata. S'effetto Compton non è altro che un urto elastico dove abbiamo il fotone che incide sull'elettrone il quale è considerato libero. Questo ha senso solo se la reazione è fortemente energetica (frequenze che sono sulla scala dei raggi X) \rightarrow MeV

effetto Compton



PRIMA DELL'URTO

Abbiamo una radiazione con frequenza iniziale ν_0 che colpisce l' e^- che è ferma, così che se anche ha una sua energia cinetica o quantità di moto, questa è molto piccola rispetto a $h\nu$ e p del fotone che sta arrivando contro di lui.

Dopo l'urto l'elettrone acquista una certa energia e quantità di moto e viene diffuso con un certo angolo ϕ e la radiazione viene diffusa con un angolo θ . S'effetto fotoelettrico ci dice che la frequenza della radiazione diffusa ν' è \neq da ν_0 (radiazione incidente). Questo è un effetto che può essere spiegato di nuovo in termini corpuscolari. Dal p.d.v. dell'elettromagnetismo la radiazione viene diffusa alla stessa frequenza dell'onda elettromagnetica incidente, invece non è così!

b) $\gamma(v) = \left(1 - \frac{v^2}{c^2}\right)^{-\frac{1}{2}} = \sqrt{2}$ (basta sostituire il valore di v)

c) $K = mc^2(\gamma - 1)$
 $= mc^2(\sqrt{2} - 1)$

Un altro modo per risolvere questo ex

$$E^2 = m^2c^4 + p^2c^2 = m^2c^4 + m^2c^4 = 2m^2c^4$$

$$E = \sqrt{2}mc^2 = \gamma mc^2 \Rightarrow \gamma = \sqrt{2}$$

Esercizio 2 (tipo esame)

Determinare il rapporto tra le quantità di moto del Carbonio 13 e di fotoni, sapendo che entrambi abbiamo un'energia cinetica pari a 10 MeV.

$\frac{p_{13C}}{p_\gamma} = ?$ $K_{13C} = 10 \text{ MeV}$ $M_{13} = 13 \mu$
 $E_\gamma = 10 \text{ MeV}$

$1 \mu = 931,5 \frac{\text{MeV}}{c^2}$

$$\frac{p_{13C} \cdot c}{p_\gamma \cdot c} = \frac{\sqrt{K^2 + 2M_c c^2 K}}{E_\gamma} \approx \frac{\sqrt{2M_c^2 c^4 K}}{E_\gamma} = 49,2$$

$M_c = \text{massa } C_{13}$

prossimo approssimazione

Siamo nelle condizioni in cui $M_c c^2 \gg K$, siamo in regime non relativistico

onde λ sarà prop all'ampiezza dell'onda λ
 l'intensità è la sovrapposizione di tanti fotoni

Difrazione \rightarrow effetto simile ad interferenza

Quando si surriscalda un gas si ha un'emissione di radiazione elettromagnetica a una lung. d'onda caratteristica. Possiamo identificare la composizione di un gas, questi se surriscaldati emettono radiazione elettromagnetica con ν e λ caratteristiche

Raggi X (λ nm)

lung. d'onda dei raggi X $\rightarrow 10^{-9}$ m

Scoperti perché quando gli e⁻ venivano accel. da una grande d.d.p. in un tubo a vuoto e questi andavano a bombardare una lamina

metallica, provocavano l'emissione di otti raggi X. Allora non era chiaro che fossero radiazioni elettromagnetiche.

Sono raggi elettromagnetici perché sappiamo identificare la lunghezza d'onda (λ nm) \rightarrow osservando l'emissione da un reticolo cristallino

Il reticolo cristallino ha una struttura regolare

Se luce ha un comportamento corpuscolare al quale viene aggiunto quello ondulatorio. Su questo comportamento duale della luce è stato detto molto.

Come si comporta la materia su scala subatomica?

Se materia ha comportamento corpuscolare; devo assumere le particelle con una certa massa, e necessariamente essendo $m \neq 0 \rightarrow v < c$ (ci vorrebbe energia ∞ per portare particelle con $m \neq 0$ alla velocità della luce)

Con $m = 0$ possiamo definire l'energia e quantità di moto

Dalla legge di Bragg si identifica una certa lunghezza d'onda per l'e⁻.

$$\lambda = \frac{h}{p}$$

$$eV = \frac{1}{2} m v^2 = \frac{p^2}{2m}$$

↑

verifica sperimentale di de Broglie → comportamento ondulatorio della materia

N.B! Così come per l'onda elettromagnetica da cui conosciamo bene la sua frequenza gli possiamo associare una grandezza tipicamente corpuscolare che è la quantità di moto, altrettanto diciamo di un oggetto che ha massa ≠ da 0 ed è un corpuscolo del quale conosciamo bene la quantità di moto gli possiamo associare una lunghezza d'onda

Quindi gli e⁻ quando hanno energia sufficiente si comportano come delle onde!

Il microscopio elettronico funziona proprio sfruttando la natura ondulatoria dell'e⁻, il microscopio ha una risoluzione che è legata alla lunghezza d'onda; + gli e⁻ sono accelerati più la lunghezza d'onda è piccola e più permettono una risoluzione elevata. Nel caso degli e⁻ la lunghezza d'onda è inversamente prop alla quantità di moto → possiamo avere risoluzioni del nanometro. Qui le lenti sono dei magneti e le immagini vengono percepite con le solite leggi dell'ottica geometrica; gli e⁻ si comportano come dei raggi e vengono deviati grazie ai magneti. Si parla di microscopio a scansione.

Effetto legato al mondo microscopico: non possiamo sapere da una particella contemporaneamente la sua posizione e la sua quantità di moto → PRINCIPIO d'INDETERMINAZIONE (di Heisenberg)

tanto + vogliamo misurare con precisione la posizione di una particella subatomica tanto più perdiamo l'info sulla sua quantità di moto

La misura perturba il sistema. Vale anche il viceversa.

La relazione di de Broglie e il princ. d'indeterminazione sono strettamente legati

L'errore di misurazione Δx è piccolo tanto più λ è piccolo

Quando il fotone colpisce l'e gli cede lo \vec{p} ; ^{→ tutta o in parte} questo ci introduce una variazione dell'errore sulla quantità di moto ed è inverso

prop alla relazione di de Broglie $\Delta p \approx \frac{hc}{\Delta x}$

$$\Delta x \Delta p_x \geq \frac{\hbar}{2}$$

L'errore non è mai ≤ 0 quindi non potrà conoscere con precisione una delle 2; tanto + una diventa precisa tanto + l'altra diventa imprecisa

Effetti quantistici: le energie che possono assumere le particelle non possono variare con continuità, ma con valori ben precisi

ESEMPIO: un e^- può essere confinato in un nucleo?

$L_N = 10 \text{ fm} = \Delta x$ (1 fm = 10^{-15} m) (dimensione nucleare)

qual è l'indeterminazione della quantità di moto?

$m_e c^2 = 0,5 \text{ MeV}$

$p^2 c^2 = K^2 + 2 m_e c^2 K$
 \hookrightarrow se $K \gg m_e c^2$

$\hbar c \approx 200 \text{ MeV} \cdot \text{fm}$

$\Delta K \approx \Delta p \approx \frac{\hbar c}{\Delta x}$

Il modello di Bohr cerca di interpretare i livelli energetici degli atomi. Introduce delle ipotesi sulla base di dati sperimentali, legati a spettri di assorbimento e eccitazione dei gas. La teoria ondulatoria della luce è uno di questi dati, e ci permette di spiegare la diffrazione; il reticolo di diffrazione è uno strumento molto preciso che ci permette di misurare la lunghezza d'onda della radiazione non solo nello arco del visibile ma anche dell'invisibile. Si osserva che quando si surriscalda un gas si ha l'emissione di un caratteristico spettro a righe, dove per spettro si intende l'insieme delle lunghezze d'onda a seguito del riscaldamento. L'atomo d'idrogeno ha uno spettro a righe anche nel visibile, ha 4 righe di emissione nel visibile, quindi prendo un gas, lo metto in un tubo di vetro, se viene posta una d.d.p tra anodo e catodo, il passaggio di corrente fa sì che ci sia un'eccitazione del gas, che corrisponde all'emissione di onde elettromagnetiche a particolari lunghezze d'onda. Non abbiamo una radiazione elettromagnetica continua, ma abbiamo luce emessa a certe lunghezze d'onda. Se cambiamo gas e riempiamo il tubo di vetro con un altro gas, tipo l'elio, otteniamo altre emissioni di radiazione elettromagnetica ad altre lunghezze d'onda.

→ Il problema è capire perché viene emessa radiazione luminosa non solo per emissione ma anche per assorbimento a certe lunghezze d'onda. È un effetto quantistico. Gli atomi che compongono il gas assorbono l'energia da certi fotoni con certe lunghezze d'onda per altri, vengono riflessi, e così per l'emissione. Lo spettro di emissione e assorbimento coincidono; quindi l'idrogeno emette e assorbe la radiazione lumi-

se l'orbita è perfettamente circolare c'è un raggio r , che può variare con continuità e l'e⁻ sarà soggetto ad una forza (F_c) centripeta.

Dal p.d.v dell'elettromagnetismo questo non ha senso; un e⁻ stabile che ruota attorno ad una carica positiva non può esistere, perché dovrebbe convergere verso l'interno → INSTABILE

Bohr fa delle ipotesi:

1.] Assumiamo che le orbite siano circolari e che l'e⁻ resti legato sotto l'azione della forza coulombiana (forza centrale = che punta verso il centro)

2.] L'atomo non collassa perché certe orbite sono stabili e quando l'e⁻ percorre certe orbite, quindi per certi valori di raggio e velocità l'e⁻ non irradia e rimane stabile su quelle orbite; quindi non collassa verso l'interno come invece direbbe l'elettromagnetismo classico.

Crea un criterio, introduce una quantizzazione: sostiene che alcune orbite sono possibili altre no; quelle possibili sono caratterizzate dalla grandezza tipica del modello circolare, il momento angolare. Ogni orbita circolare è caratterizzata da un momento angolare $\vec{L} = \vec{r} \times \vec{p}$ (\vec{p} e \vec{r} sono \perp)

il modulo $|\vec{L}| = r m_e v = n \hbar$
 ↳ massa e⁻

Se orbite permesse sono caratterizzate dal valore del mom. angolare che può assumere solo certi valori che sono multipli interi della costante di Planck

3.] Bohr guarda l'emissione e l'assorbimento di energia. Se variazione di

Se la 2^a ipotesi di Bohr è vera, allora l'en. cinetica non può essere qualsiasi perché le velocità dipendono da h

$$K = \frac{1}{2} m_e v_e^2 = \frac{n^2 \hbar^2}{2 r_n^2 m}$$

Faccio l'equivalenza con la legge di Newton

$$\frac{n^2 \hbar^2}{2 m r_n^2} = k e \frac{e^2}{2 r_n}$$

$$r_n = \frac{n^2 \hbar^2}{m k e e^2}$$

► Relazione sui raggi delle orbite che sono permessi

La dinamica Newtoniana ci dice che le orbite hanno una certa energia cinetica che dipende dal raggio, l'ipotesi di Bohr sulla quantizzazione del momento angolare afferma che solo certe orbite sono permesse cioè quello con valore multiplo di \hbar → Otteniamo quindi una relazione legata al valore dei raggi permessi.

$$r_n = n^2 a_0$$

$$a_0 = \frac{\hbar^2}{k m e e^2}$$

↳ i raggi non possono variare con continuità perché n è un numero intero $n=1, 2, 3$, quindi le orbite possibili sono caratterizzate da certi raggi possibili.

a_0 = raggio fondamentale di Bohr; è il raggio più piccolo possibile permesso, poiché $n \neq 0$. C'è quindi una distanza minima dell'orbita.

Gli altri raggi crescono con n^2 .

Per $n=1$ $r_1 = a_0$

$n=2$ $r_2 = 4 a_0$

$n=3$ $r_3 = 9 a_0$

La lung. d'onda è legata alla frequenza dalla relazione $\lambda \nu = c$

$$\frac{1}{\lambda} = \frac{\nu}{c} = A \left(\frac{1}{n_p^2} - \frac{1}{n_i^2} \right) \quad A = \frac{k_e e^2}{2 \epsilon_0 h c} = (R_H) \text{ costante di Rydberg}$$

Quindi la frequenza dipende dalla transizione dallo stato iniziale allo stato finale. n va ad etichettare il valore possibile dei livelli energetici

Bohr ottiene che A sia = alla costante di Rydberg che era stata scritta senza nessun criterio

Il modello di Bohr è semi-classico però le previsioni fatte funzionano. Se si fissa $n_p = 2$ e $n_i = 3, 4, 5$ si ottengono dei valori delle lunghezze d'onda che sono nel visibile, misurate per lo stesso di emissione dell'atomo d'idrogeno, ma se ne ottengono anche tante altre per valori \neq di n_p e n_i che non sono osservabili nel visibile.

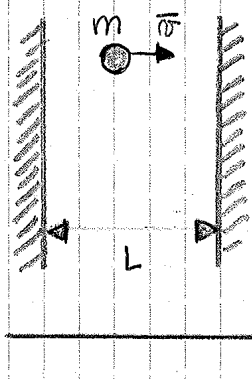
24-03-2013

$$\int_{-\infty}^{\infty} |\psi(x)|^2 dx = 1$$

$x \rightarrow x+dx$

$|\psi(x)|^2 =$ densità di probabilità

Assumendo le proprietà ondulatorie della materia considero il sistema formato da una particella libera confinata tra due pareti



- particella di massa m con velocità v
- la particella urta le pareti in modo elastico
- e possiamo osservare la sua energia cinetica e quantità di moto

supponiamo che la v abbia unico componente lungo l'asse x

L : lung. della regione in cui è confinata la particella

Questa funzione d'onda deve soddisfare le condizioni al contorno sulle pareti. Dobbiamo confinare l'onda tra le due pareti; dobbiamo quindi richiedere che quando la particella sbatte contro il muro torni indietro e quindi la probabilità di andare oltre il muro deve essere = 0

$$\psi(0) = \psi(L) = 0 \quad \rightarrow \text{probabilità di trovare la particella oltre il muro} = 0$$

$$\begin{cases} \psi(0^-) = \psi(0^+) = 0 & \text{condizioni al contorno per continuità} \\ \psi(L^-) = \psi(L^+) = 0 & (\text{limite } dx = \text{limite } sx = 0) \end{cases}$$

↳ La probabilità deve essere una funzione continua

Se vogliamo che $\psi(L) = 0$ dobbiamo imporre che $\sin\left(\frac{2\pi}{\lambda} L\right) = 0$ se fisso un certo valore di $x=L$, devo cambiare la mia lunghezza d'onda in modo tale che la funzione d'onda sia = 0 nel punto del muro.

$$\sin\left(\frac{2\pi}{\lambda} L\right) = 0 = \psi(L)$$

$$\frac{2\pi L}{\lambda} = n\pi \quad \begin{array}{l} \text{deve essere un multiplo intero di } \pi \\ n = 1, 2, 3, \dots \quad (n \neq 0) \\ \rightarrow \text{già considerato per } x=0 \end{array}$$

Abbiamo un vincolo sulla lung. d'onda $\lambda_n = \frac{2L}{n}$

La lung. d'onda si deve aggiustare in modo che l'onda piana sia allungata

Quantità discrete \rightarrow abbiamo un certo valore discreto

$$p_n = \frac{h}{\lambda_n} = \frac{h}{\frac{2L}{n}} \quad n = 1, 2, 3$$

⇒ abbiamo solo certi valori possibili di velocità

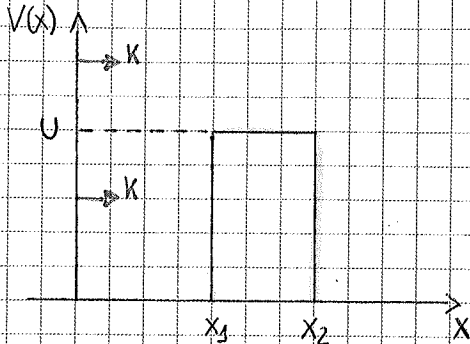
⇒ " " " " " di energie cinetiche

$$E_n = \frac{p_n^2}{2m} = \frac{h^2}{2mL^2} n^2$$

Bohr va a postulare degli effetti di quantizzazione sul momento

Effetto Tunnel

Considero un sistema in cui l'en. potenziale è zero ovunque eccetto per una regione di lunghezza L nella quale l'en. potenziale ha un valore cost. U . Questa configurazione si chiama barriera di potenziale e U si chiama altezza della barriera.



Considero una particella di energia $E < U$ che incide sulla barriera di potenziale da sinistra.

Classicamente la particella viene riflessa dalla barriera.

Secondo la meccanica quantistica tutte le regioni sono accessibili dalle particelle indipendentemente dalla sua energia.

La possibilità di trovare la particella nel lato opposto della barriera è detto effetto tunnel.

La probabilità che si verifichi l'effetto tunnel può essere descritto mediante un coefficiente di trasmissione T e un coefficiente di riflessione R :

Il coeff. di trasmissione misura la probabilità che la particella passi dall'altra parte della barriera, e il coeff. di riflessione è la probabilità che la particella venga riflessa dalla barriera.

Perché la particella incidente è o riflessa o trasmessa dobbiamo imporre che $T + R = 1$. Un'espressione approssimata del coeff. di trasmissione che si ottiene quando $T \ll 1$ è data da

$$T \approx e^{-2cL} \quad \text{dove } c = \frac{\sqrt{2m(U-E)}}{\hbar}$$

Secondo la fisica quantistica T non può essere nulla, in contrasto con il punto di vista classico che richiede $T = 0$. Il fatto che sperimentiamo il fenomeno dell'effetto tunnel fornisce un'ulteriore conferma nei principi della meccanica quantistica.

$$\lambda \approx \frac{hc}{\sqrt{2mc^2 K}}$$

$$\approx \frac{hc}{K}$$

$mc^2 \gg K$ regime di dinamica relativistica

$mc^2 \ll K$ regime ultrarelativistico

ex

$K_d \approx 5 \text{ a } 6 \text{ MeV}$

$K_{dc} \approx 4000 \text{ MeV}$

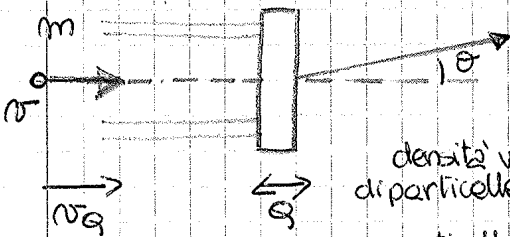
$mc^2 \approx 0,5 \text{ MeV}$

$K_e = ?$

$\lambda \approx \frac{hc}{K} \quad (K \gg mc^2)$

$\approx \frac{200 \text{ MeV} \cdot \text{pm}}{K_e} \approx 1 \quad K_e \approx 200 \text{ MeV} \gg mc^2$

Sezione d'urto



Flusso di particelle

$\Phi = n_b v_b$

densità volumetrica di particelle
 $n_b = \frac{N_p}{V}$ - fascio di particelle

$[\Phi] = \left[\frac{1}{L^2 t} \right]$

densità volumetrica di particelle del bersaglio
 $N_b = n_b Ad$

spessore del bersaglio

SEZ. D'URTO

$R = \dot{N} = \frac{dN}{dt} = \Phi N_b \sigma$

Frequenza di reazioni per unità di volume

ha le dimensioni di un'area

$\sigma = \frac{\dot{N}}{\Phi N_b}$

$[\sigma] = [L^2]$

$1b = 10^{-28} \text{ m}^2$

$R = \frac{\dot{N}}{V}$

Tale relazione si può scrivere introducendo la densità ρ_T del bersaglio:

$$\frac{dn}{dt} = I_0 \rho_T \sigma dz$$

si ottiene che il numero di interazioni è:

$$dn = \rho_T \sigma dz I_0 dt = \rho_T \sigma dz N_0$$

dove N_0 è l'integrale nel tempo dell'intensità del fascio, e rappresenta il numero totale di particelle del fascio.

Sezione d'urto differenziale

Si supponga che le particelle deviate dal bersaglio vengano rivelate in un angolo solido

$$d\Omega = 2\pi \sin \theta d\theta$$

Le particelle diffuse nell'unità di tempo nell'angolo solido sono

$$d\dot{N}_f = \dot{N}_f d\Omega = \Phi N_b d\sigma$$

dove l'indice f indica lo stato finale. La sezione d'urto differenziale è data da

$$\frac{d\sigma}{d\Omega} = \frac{\dot{N}_f}{\Phi N_b}$$

Che è il rapporto tra il numero di particelle diffuse nell'unità di tempo e la luminosità

$$L = \Phi N_b$$

Lo stato finale è caratterizzato da diverse variabili; se per esempio si conosce l'impulso delle particelle del fascio incidente nello stato finale, la sezione d'urto sarà data dall'integrale sull'intervallo delle variabili nello stato finale, cioè

$$\sigma = \int_f \frac{d\sigma}{dp} dp'$$

Nel paragrafo precedente si è visto che

$$dn(\theta) = N_0 \rho_T dz d\sigma$$

Tale relazione si può scrivere:

$$dn(\theta) d\Omega = N_0 \rho_T dz d\sigma d\Omega$$

che, considerando un solo nucleo ed introducendo la densità del fascio $n_0 = N/S$, diventa:

$$dn(\theta) = n_0 \frac{d\sigma d\Omega}{d\Omega}$$

Dal momento che le particelle deflesse ad un angolo θ entro l'angolo solido $d\Omega$ sono quelle che attraversano l'anello

$$dS = 2\pi b db$$

si ha che:

$$dn(\theta) = n_0 dS = n_0 \frac{d\sigma d\Omega}{d\Omega}$$

utilizzando l'espressione esplicita dell'angolo solido si ottiene l'espressione per la sezione d'urto differenziale:

$$\frac{d\sigma}{d\Omega} = - \frac{bdb}{\sin \theta d\theta}$$



$\sigma = \frac{\overset{\circ}{N}}{\Phi_0 N_b} \rightarrow \text{numero di reazioni nell'unità di tempo}$

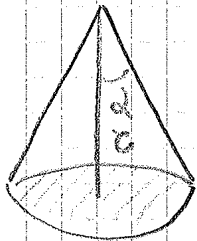
$$= \frac{\Delta N}{n_2 n_3 \Delta t N_b} = \frac{\Delta N}{n_2 n_3 \Delta t A \frac{N_b}{A}} = \frac{\Delta N}{N_2 \frac{N_b}{A}}$$

Sezione d'urto differenziale

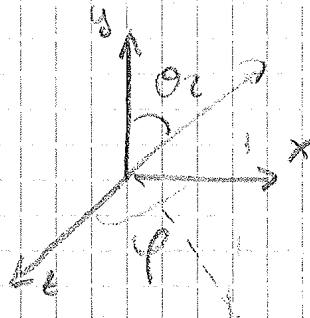
$$\sigma = \frac{N^{\circ}}{\Phi_0 N_b}$$

angolo solido

$$\Delta \Omega = \frac{A}{r^2}$$



$$\frac{d\sigma(\theta, \varphi)}{d\Omega}$$



$$\sigma_{TOT} = \int \frac{d\sigma(\theta, \varphi)}{d\Omega} d\Omega$$

Sezione d'urto Rutherford

$$F = \frac{1}{4\pi \epsilon_0} \frac{z_1 z_2 e^2}{r^2} \vec{u}_2 = m \vec{a}$$

$$k_e \frac{z_1 z_2 e^2}{m v^2 b} \neq \cos \frac{\theta}{2} = \neq \sin \frac{\theta}{2} \rightarrow \text{otterengo la relazione che stavo cercando}$$

$$b = k_e \frac{z_1 z_2 e^2}{\frac{1}{2} m v^2} \operatorname{ctg} \left(\frac{\theta}{2} \right) =$$

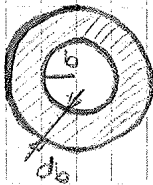
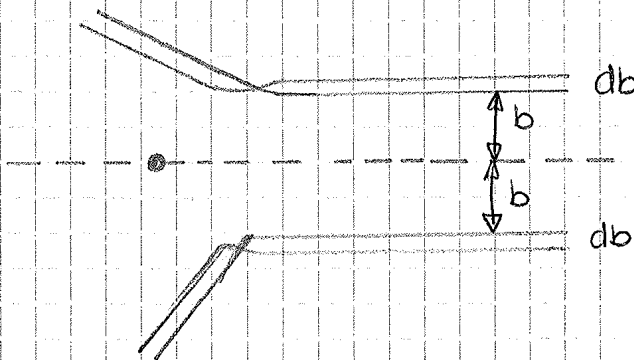
$$= \frac{1}{2} k_e \frac{z_1 z_2 e^2}{\textcircled{K}} \operatorname{ctg} \left(\frac{\theta}{2} \right)$$

a: coeff

energia cinetica della particella incidente

$$b = \frac{a}{2} \operatorname{ctg} \frac{\theta}{2}$$

²⁰⁸Po⁻ → z₂ = 82, b = 33,3 fm → particelle α



$$\pi (b+db)^2 - \pi b^2 = \pi (b^2 + 2bdb + db^2) - \pi b^2 = 2\pi bdb$$

trascunabile

da variazione di superficie

$$2\pi dbb = 2\pi \frac{a}{2} \operatorname{ctg} \frac{\theta}{2} \cdot \frac{a}{2} \frac{1}{\sin^2 \left(\frac{\theta}{2} \right)} d\theta$$

$$|db| = \frac{db}{d\theta} d\theta$$

$$= \frac{a}{2} \frac{1}{2} \frac{1}{\sin^2 \frac{\theta}{2}} d\theta$$

$$\frac{d}{d\theta} = \frac{\cos \frac{\theta}{2}}{\sin^2 \frac{\theta}{2}} = - \frac{1}{\sin^2 \frac{\theta}{2}} \frac{1}{2}$$

Abbiamo ottenuto la relazione

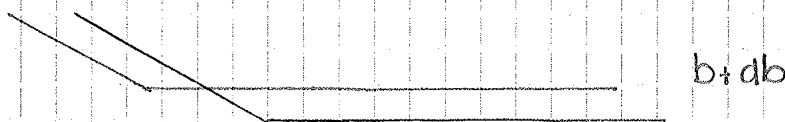
$$b = \frac{a}{2} \cotg\left(\frac{\theta}{2}\right) \quad a = \frac{1}{4\pi\epsilon_0} \frac{z_1 z_2 e^2}{K}$$

$$\text{dove } K = \frac{1}{2} m v^2$$

3 approssimazioni:

- 1) Interazione singola di una particella con un nucleo (foglio sottile)
- 2) Interazione coulombiana
- 3) Considero elementi pesanti ($z_2 e$)

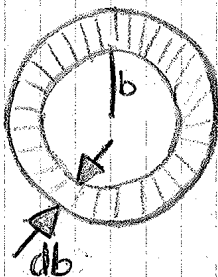
Al variare di b ho una certa deflessione dell'angolo solido



La variazione di $d\theta$ si ripercuote in una variazione di angolo solido

All'aumentare di b, θ diminuisce

Quanto vale la superficie tratteggiata?



$$\pi (b+db)^2 - \pi b^2 \approx 2\pi b db$$

$$a = \left[\frac{1}{4\pi\epsilon_0} \frac{z_1 z_2 e^2}{K} \right] \text{ ha le dimensioni di una lunghezza}$$

$$\frac{2\pi b db}{A} = \frac{2\pi}{A} \frac{a}{2} \cotg\left(\frac{\theta}{2}\right) \left| -\frac{a}{2} \frac{1}{\sin^2\left(\frac{\theta}{2}\right)} \frac{1}{2} \right| d\theta = \frac{2\pi}{A} \frac{a^2}{8} \frac{\cos\frac{\theta}{2}}{\sin^3\frac{\theta}{2}} d\theta = \text{(*)}$$

$$db = \left| \frac{db}{d\theta} d\theta \right| \rightarrow \text{prendo il valore assoluto perché ad un incremento di b corrisponde un decremento di } \theta$$

È un'interazione coulombiana a distanza tra cariche di segno = o opposto. La sezione d'urto dipende da $K(z_1, z_2)$ e l'angolo θ ; questo è il caso di una sezione d'urto NON ISOTOPA

I dati sperimentali mostrano che da un certo punto in poi il grafico si discosta dalla sezione d'urto differenziale.

$$\frac{d\sigma}{d\Omega} \Big|_{EXP}$$

$$\frac{d\sigma}{d\Omega} \Big|_R$$

$$p(z) = z e^{-z}$$

Se la carica è puntiforme $\rho(z) = \delta(z)$

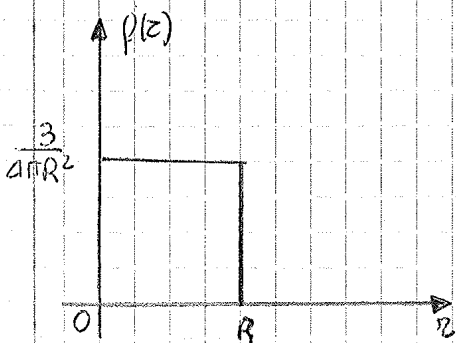
$$\frac{d\sigma}{d\Omega} \Big|_{EXP} = \frac{d\sigma}{d\Omega} \Big|_{RUB} |F(\theta, K)|^2 \rightarrow \text{FATTORE DI FORMA: fattore correttivo; corregge}$$

... dipende dalla distribuzione

di carica

La variazione della sezione d'urto sperimentale rispetto a quella di Rutherford che abbiamo calcolato.

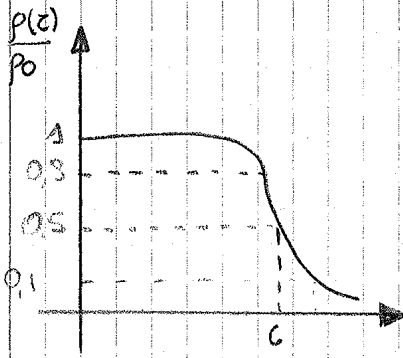
$$F(\theta, K) = \int p(z) e^{i q \cdot z} d^3z \quad q = 2 p_e \sin \frac{\theta}{2}$$



$$p(z) = \begin{cases} \frac{3}{4\pi R^3} & z \leq R \\ 0 & z > R \end{cases}$$

$$\int p(z) d^3z = 1 = 4\pi \int_0^R z^2 dz = \frac{4}{3} \pi R^3 p(R) = 1$$

03/04/2014



$$\rho(r) = \frac{\rho_0}{1 + e^{\frac{r-c}{a}}}$$

Con esponente ad alta energia posso sfondare la regione del nucleo che costituisce la massa dell'atomo.

È caratterizzato da un raggio $R = r_0 A^{1/3}$. Il nucleo ha un profilo di densità di carica uniforme all'interno e poi decresce all'esterno (parametro A)

Per i nuclei centrali: $\beta = \text{cost}$
 $a = \text{cost}$

Si identifica il raggio del nucleo come se fosse una sfera. La carica dentro il nucleo ha una dimensione finita

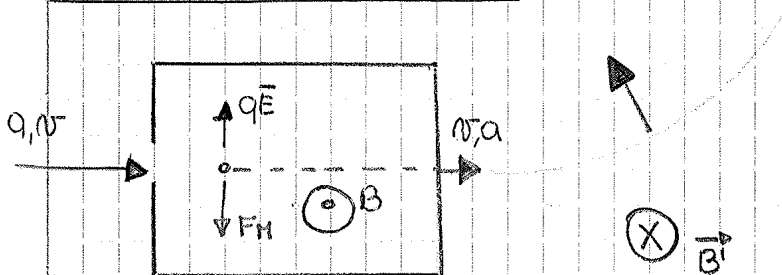
Com'è fatta la struttura del nucleo? Il nucleo è fatto da cariche positive?

La somma di e^- deve essere uguale alla somma delle cariche positive.

Bisogna fare una misura di massa degli elementi con lo spettrometro

di massa. Una carica elettrica viene deviata da una forza elettrica ($q\vec{E}$) e una forza magnetica ($q\vec{v} \times \vec{B}$). Sfrutto questa proprietà per calcolare la massa dei nuclei o degli atomi ionizzati.

PROCEDIMENTO: ho una sorgente di ioni, questi vengono accelerati da una d.d.p che dà loro una certa velocità; questo viene rilevato da un selezionatore di velocità.

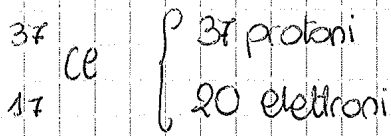


Il numero di massa è diverso dal numero di carica

$$m_e c^2 = 0,5 \text{ MeV}$$

$$Q = +Ae - (A-z)e = +ze$$

ex:



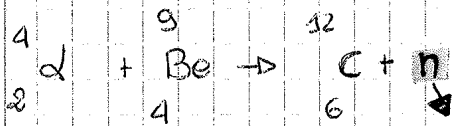
-> il neutrone non si comporta come carica

$$\Delta x \Delta p \sim h$$

$$\text{Se } \Delta x \sim 10 \text{ fm}$$

$$\Delta p c \sim \frac{hc}{\Delta x} \approx 10^9 \approx 20 \text{ MeV} \quad m_e c^2 = 0,5 \text{ MeV}$$

Si sapeva poiché I degli oggetti neutri



NEUTRONE

-> la massa del neutrone è difficile da misurare però sappiamo che $M_n \approx M_p$

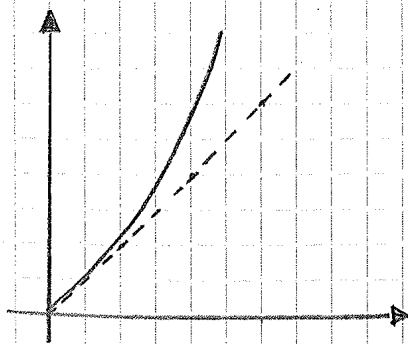
$$A, M_n \approx AM_p \approx AM_n$$

$$Q_N = +ze, \quad (z = N_p)$$

$$A - z = N$$

$$A = z + N$$

$$z \approx N \approx \frac{A}{2} \quad \rightarrow \text{per nuclei medi-leggeri}$$



L'interazione coulombiana è meno forte della forza attrattiva tra protoni ed elettroni. La distribuzione di carica è assimilabile alla distribuzione di massa con una densità centrale di carica costante. Questo fa sì che il volume è prop. ad A $\rho_0 = \text{cost} \Rightarrow V \propto A$

Le forze nucleari sono a corto raggio d'azione ($\approx 2 \text{ fm}$)

Energia di legame

caratt. delle forze nucleari.

Posiamo misurare le masse atomiche \rightarrow estraiamo masse nucleari

\rightarrow ricaviamo l'energia di legame basata sul principio di equilibrio tra massa ed energia. Ad una certa massa corrisponde una certa en. di riposo che può essere convertita in altri stati \neq da quello iniziale

$$M_N(A, Z) \neq N \underbrace{(M_n)}_{\text{massa neutrone}} + Z \underbrace{(M_p)}_{\text{massa protoni}}$$

Il valore della massa totale è diverso da quello della somma delle singole masse di Z e N perché c'è l'energia di legame risultante dalle forze attrattive nette; ci dice quanto sono legati

$$\frac{B.E}{c^2} = M_N(Z, A) - (N M_n + Z M_p)$$

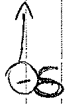
è una quantità negativa perché essendo le forze attrattive, diminuisce la massa totale del nucleo

Questa grandezza può essere misurata se conosciamo le masse atomiche.

$$=: M_A(A, Z) - (N M_p + Z M_p + Z m_e)$$

Si sarebbe dovuto conteggiare oltre alla massa a riposo, il fatto che gli e⁻ sono liberi. Quindi dovrei togliere l'energia di legame degli elettroni, ma è una quantità piccola.

indica che c'è un'energia attrattiva

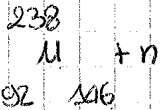
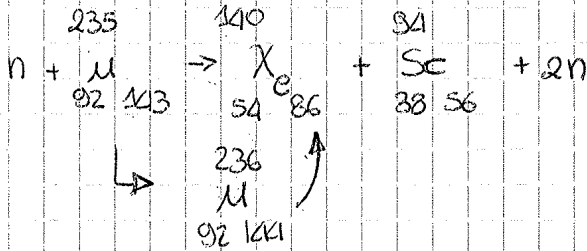


A = PARI N = PARI
Z = PARI

$\Delta p = 0$ A = DISP

δ A = PARI N = DISPARI
Z = DISPARI

Fissione nucleare



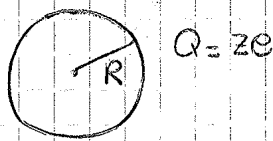
$$Q = [M\mu + Mn - Mxe - Msc - 2Mn]c^2 = Kxe + Ksc + Kn_1 + Kn_2 - Kni > 0$$

$$|B.E|_{xe} + |B.E|_{sc} - |B.E|_{\mu} = Be|_{\mu} - Be|_{xe} - Be|_{sc}$$

$$[54Mp + 86Mn - Mn(Xe)]c^2 + [38Mp + 56Mn - Mn(Sc)]c^2 -$$

$$[92Mp + 143Mn - Mn(\mu)]c^2 =$$

$$\mu = \frac{1}{4\pi\epsilon_0} \frac{q_1 q_2}{r}$$



$$d\mu = \frac{1}{4\pi\epsilon_0} \frac{q dq}{r}$$

$$\mu = \frac{1}{4\pi\epsilon_0} \int_0^Q \frac{q dq}{r}$$

$r(q) = ?$, $q(r) = ?$

$\rho_0 = \text{cost}$

Esempi

¹⁹⁷

Au

$$\frac{Z}{A} \approx 0,4$$

79

²⁰⁸

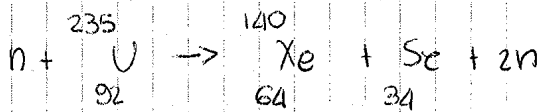
Pb

82

$$\frac{Z}{A} = 0,391$$

$$A = 140 \rightarrow Z_m = 57,8$$

FISSIONE NUCLEARE



issione nucleare libera energia

$$\frac{Z}{A} |_{Xe} = 0,386$$

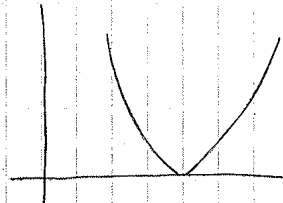
$$\frac{Z}{A} |_{U} = 0,391$$

$$\frac{Z}{A} |_{Se} = 0,404$$

¹⁴⁰

Ce

58



REAZIONI NUCLEARI

In una reazione nucleare deve essere conservato l'energia, la quantità di moto, il numero di protoni e il numero atomico. $a + X \rightarrow Y + b$

Definiamo $Q = (M_a + M_x - M_y - M_b)c^2$

Se $Q > 0$ la reazione avviene spontaneamente e si libera energia => reazione esotermica.

$$Q = \left[\sum_x M_x^{(A)} - \sum_x M_x^{(B)} \right] c^2$$

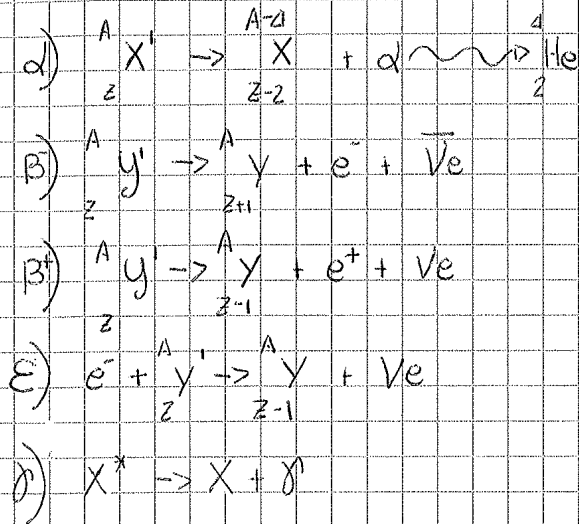
Se $Q < 0$ la reazione rappresenta un aumento dell'energia a riposo e può avvenire solo se la particella proiettile "a" ha un'energia cinetica maggiore di $|Q|$ -> reazione endotermica

$$e^+ + e^- \rightarrow 2\gamma \quad Q > 0 \quad 2m_{ec^2} \rightarrow 0 \quad \text{Es. reazione esotermica}$$

$$\gamma_1 + \gamma_2 \rightarrow e^+ + e^- \quad Q < 0 \quad 0 \rightarrow 2m_{ec^2} \quad E_{\gamma} = h\nu \geq m_{ec^2} \quad \text{endotermica}$$

Decadimenti radioattivi

14/04/2014



- Tre tipi di decadimenti: sono decadimenti spontanei perché $Q > 0$, $Q_\alpha = K_X + K_\alpha$
- α \rightarrow coinvolge elementi medi-pesanti (2 protoni e neutroni eccome da quello di partenza per formare uno nuovo He)
L'energia viene liberata sotto forma di em. alfa
 - β \rightarrow \neq da α Abbiamo la formazione di stati che non hanno niente a che fare con quello di partenza
 - γ \rightarrow derivano da decadim. α e β quando i nuclei "figli" vengono prodotti in uno stato eccitato. Questi tornano ad uno stato non eccitato emettendo radiazioni γ

Un campione radioattivo può decadere in modi \neq (α, β, \dots)
 $\rightarrow e^+ e^-$
 Gli oggetti creati si comportano in modo oscillatorio e possono essere carichi o neutri
 La materia si trasforma in una situazione più stabile con un'em di legame $>$

Il numero di nuclei radioattivi $N(t)$ non sono costanti, ma cambiano perché decadono nell'unità di tempo. Posso ricavare la frequenza con la quale i nuclei di partenza si trasformano. Un campione di nuclei radioattivi diminuisce nell'unità di tempo ed è prop. al n° di nuclei che decadono nell'unità di tempo

$$\frac{dN(t)}{dt} = -\lambda N(t)$$

$\lambda = \text{cost}$ LEGGE STATISTICA DEI DECADIMENTI RADIOATTIVI
 La rapidità di decadimento è legata alla quantità di nuclei che decadono, più ci sono nuclei, più rapidamente decadono. Questo è stato osservato dal p.d.v sperimentale.

Considero il campione radioattivo allo stato iniziale $t=0$, $N(0) = N_0$ e integro l'equazione

$$\int_{N_0}^{N(t)} \frac{dN(t)}{N(t)} = -\lambda \int_0^t dt \rightarrow \ln \left[\frac{N(t)}{N_0} \right] = -\lambda t \rightarrow$$

$$\left| \frac{dN}{dt} \right| = +N_0 \lambda e^{-\lambda t}$$

$$N(t) = N_0 e^{-\lambda t}$$

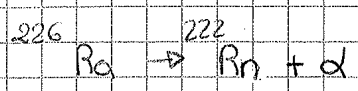
Nota una di queste 3 grandezze (λ , $T_{1/2}$, γ) possiamo identificare il decadimento

La grandezza fondamentale è l'attività $A(t) = \lambda N(t) = \lambda N_0 e^{-\lambda t}$
 frequenza di decadimento
 N° di nuclei che decadono nell'unità di tempo
 decade con una legge esponenziale

Stante per istante conteggio questa funzione

All'istante $t=0$, $N(0) = N_0$ e l'attività iniziale sarà $A(0) = \lambda N_0 = A_0$

1 bequerel (Bq) è l'unità di misura dell'attività



1 curie (Ci) = $3.7 \cdot 10^{10}$ Bq \rightarrow circa l'attività di un gr di Ra

Per tutti i decadimenti noi sono un nucleo padre e un nucleo figlio. Spesso però i decad. avvengono attraverso una catena di decadimenti radioattivi

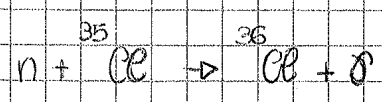
ex. Uranio 238

È utile produrre elem. radioattivi trtt del p.d.v della medicina nucleare

(EX): produrre di sostanze radioattive con acceleratori di particelle attraverso reazioni nucleari

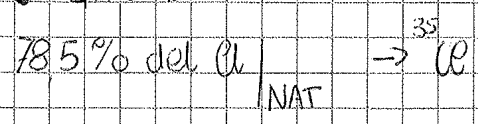
Voglio produrre ${}^{36}_{36}\text{Cl}$ ($T_{1/2} = 3 \cdot 10^5 \text{ y}$)

1g NiCl_2 (peso molecolare = 129,6)



$\phi_n = 10^{14} \text{ m}^{-2} \text{ s}^{-1}$
 flusso di neutroni

$$\sigma = 13.6 \text{ b}$$



Determino un intervallo di tempo $\Delta t / t = 3 \cdot 10^5 \text{ Bq}$

$$\approx R \Delta T$$

$$\Delta T \approx \frac{A(\Delta T)}{\lambda R} = 1,51 \text{ d (giorni)}$$

DECADIMENTO α



$$A > 150$$

$$Q > 0, Q \approx 4 \div 5 \text{ MeV}$$

$$E) M_{X'} c^2 = M_X c^2 + K_X + M_\alpha c^2 + K_\alpha$$

$$P) 0 = \vec{P}_X + \vec{P}_\alpha \rightarrow \vec{P}_\alpha = -\vec{P}_X, |\vec{P}_\alpha| = |\vec{P}_X|$$

$$Q = K_X + K_\alpha$$

regime NON RELATIVISTICO

$$K = \frac{P^2}{2m}$$

$$M_\alpha c^2 \gg K_\alpha, M_X c^2 \gg K_X$$

$$Q = \frac{P_\alpha^2}{2M_\alpha} + \frac{P_X^2}{2M_X} =$$

Esprimo la conserv. dell'energia in modo non relativistico

$$Q = (M_{X'} - M_X - M_\alpha) c^2 = K_\alpha + K_X$$

$$= \frac{P_\alpha^2}{2M_\alpha} \left[1 + \frac{M_\alpha}{M_X} \right] = K_\alpha \left[1 + \frac{M_\alpha}{M_X} \right]$$

sopprimendo (α) conserve le masse, conosciamo $Q \rightarrow$ ricaviamo l'energia cinetica

$$K_\alpha = \frac{Q}{1 + \frac{M_\alpha}{M_X}}$$

$$\frac{M_\alpha}{M_X} \approx \frac{4}{A-4} \ll 1$$

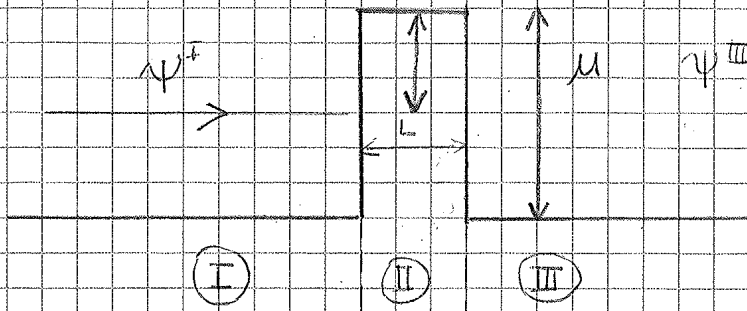
\rightarrow fattore correttivo

$$K_\alpha = Q \left(1 + \frac{M_\alpha}{M_X} \right)^{-1} \approx Q \left(1 - \frac{M_\alpha}{M_X} \right)$$

$$K_X = Q - K_\alpha$$

A fissata Q , l'energia cinetica è la stessa

barriera di potenziale



C'è la possibilità di oltrepassare la barriera anche se l'energia cinetica $E < \mu$ dell'energia di potenziale

$\frac{\psi_{III}}{\psi_I} = T$ → probabilità di attraversamento di una barriera rettangolare
 → vale per una barriera rettangolare coefficiente di trasmissione

$$T = e^{-2CL}$$

$$C = \sqrt{2M_d(\mu - E)}$$

legato all'energia cinetica e all'altezza delle barriere

Suddivido l'attraversamento della barriera ^{reale} non rettangolare con barriere rettangolari.
 Se scoppio il potenziale coulombiano in tante barriere curve per la prima barriera che la particella incontra $T = e^{-2C_1 L_1}$. Poi l'altezza della seconda barriera si abbassa e abbiamo $T = e^{-2C_2 L_2}$.

Abbiamo quindi che la probabilità di attraversamento totale sono

$$T = e^{-2C_1 L_1} \cdot e^{-2C_2 L_2} \cdot e^{-2C_N L_N} = e^{-2 \sum_{i=1}^N C_i L_i}$$

Devo suddividere la barriera in tante barriere infinitesime dove $N \rightarrow \infty$ e

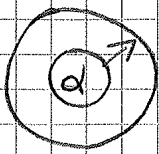
$$L \rightarrow \infty$$

$$T = e^{-2G} \quad (G = \text{GAMOV})$$

$$G = \int_R^a \sqrt{2M_d(\mu(z) - E)} dz$$

z_c : punto di intersezione tra l'energia cinetica della particella e il potenziale

coulombiano: z_c è definito tale che $K_d = \frac{2(z-2)e^2}{4\pi\epsilon_0 zc} \rightarrow zc = \frac{2(z-2)e^2}{K_d 4\pi\epsilon_0 Kc}$



λ è una grandezza strettamente legato a $T = e^{-2G}$

Essendo $T_{1/2} = \frac{\ln 2}{\lambda} \propto e^{2G}$

$\ln T_{1/2} = a + b \frac{Z}{\sqrt{K_{\alpha}}}$ del nucleo padre

→ la dipendenza dell'em. cinetica è esplicitata

Se si prendono Z isotopi radioattivi con stesso Z seguono una legge di questo tipo: LEGGE di GEIGER-NUTTAL (1911) → conseguenza dell'effetto TUNNEL dimostrato nel 1928 da GAMOW

Una piccola variazione di (K_{α}) crea cambiamenti enormi di tempi di stabilità e dimezzature.

Il dec. α emette sempre alla stessa energia

$$K_{\alpha} = \frac{Q}{1 + \frac{M_{\alpha}}{M_X}}$$

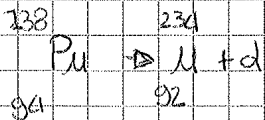
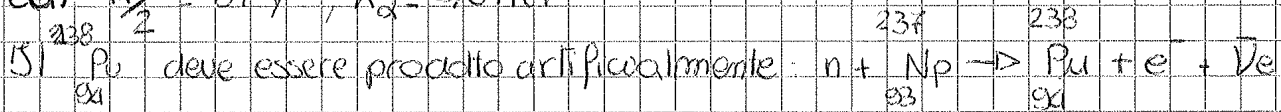
Il dec. α può essere sfruttato per alimentare circuiti elettrici?

ES

Ci sarebbe sempre una potenza assicurata nell'unità di tempo

Suppongo di prendere un nucleo che decade $^{238}_{94}\text{Pu}$ (isotopo instab. del Plutonio)

con $T_{1/2} = 87 \text{ y}$, $K_{\alpha} = 5,6 \text{ MeV}$



Prendo un gr di ^{238}Pu , qual è la potenza fornita?

$A = \lambda N = \frac{\ln 2}{T_{1/2}} \cdot \frac{N_A}{238} = 6 \cdot 10^{11} \frac{\text{dec}}{\text{s}} (1\text{g})$

POTENZA

$P = 6 \cdot 10^{11} \frac{\text{dec}}{\text{sec}} \cdot 5,6 \cdot 10^6 \text{ eV} \cdot 1,6 \cdot 10^{-19} \frac{\text{J}}{\text{eV}} = 0,6 \text{ W}$

↓
energia

Determino l'età del pianeta stesso $t = ?$

$$N_{205}(t) = N_0^{(205)} e^{-\lambda t} \quad \text{dove } \lambda = \frac{1}{T_{205}} = \frac{1}{\lambda_{205}}$$

$$\frac{N_{205}^{(t)}}{N_{204}^{(t)}} = e^{-\lambda_{205} t}$$

$$\frac{N_{205}}{N_{204}} = e^{-\frac{t}{T_{205}}} = 2 \cdot 10^{-4}$$

$$t = T_{205} \ln \frac{N_{204}}{N_{205}} = 2,4 \cdot 10^8 \text{ y}$$

$$n \rightarrow p + e^- + \bar{\nu}_e \quad Q > 0$$

$$T = 10,4 \text{ min (a riposo)}$$

$$K_n = 0,04 \text{ eV}$$

Quanti neutroni decadono prima di attraversare una distanza di 10 km?

$$\Delta L = 10 \text{ km}$$

approssimazione non relativistica $K = \frac{1}{2} M v^2$

$$\frac{N}{N_0} = e^{-\lambda \Delta t} = 0,9960$$

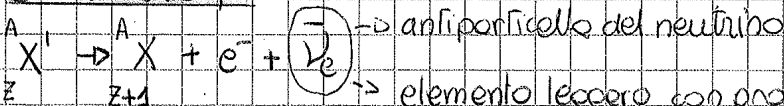
$$\Delta t = \frac{\Delta L}{v} = \frac{\Delta L}{\sqrt{\frac{2K}{M_n}}} = 3,6 \text{ s sec}$$

$$\Delta \frac{N}{N_0} = 0,004 \rightarrow 0,4 \%$$

Decadimenti β

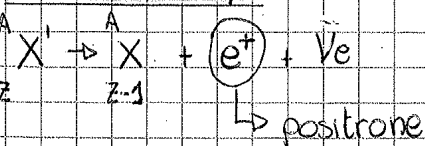
28/01/2014

Decadimento β^-

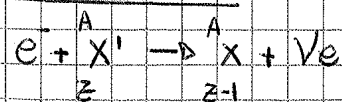


$\bar{\nu}_e$ \rightarrow elemento leggero con probabilità di interazione molto piccola oggetto neutro

Decadimento β^+



Decadimento ϵ : detto cattura elettronica poiché un e^- viene catturato



Gli ultimi 2 sono collegati e complementari

Deve esistere un terzo corpo per definire la conservazione dell'energia cinetica perché l'en. cinetica dell'e⁻ non è costante

Se voglio sapere a quale elemento corrisponde l'en. cinetica max[⊕]

$$K_{e|_{max}} \rightarrow K_p \approx 0$$

da $K_{e|_{max}}$ deve corrispondere al Q della reazione

$$K_{e|_{max}} \approx Q \rightarrow \text{otengo una stima di quanto sia } m_{\nu}, \text{ la massa del neutrino}$$

Noi sappiamo che il neutrino ha una massa trascurabile persino rispetto a quella dell'elettrone

N.B. l'en. cinetica del protone K_p è trascurabile perché la massa è molto grande rispetto all'elettrone e al neutrino

Se sezione d'urto d'interazione con la materia (probabilità che il neutrino interagisca)

$$\sigma \approx 10^{-19} \text{ cm}^2 \quad b = 10^{-43} \text{ cm}^2 \quad \bar{\nu}_e + p \rightarrow n + e^+$$

↳ sezione d'urto di cattura

ex: quanto materia il neutrino attraversa prima d'interagire?

$$\sigma \rightarrow 10^{-19} \frac{N_p}{\text{cm}^3} \quad (\text{densità di particelle})$$

$$10^{-43} \text{ cm}^2 \cdot 10^{24} \frac{N_p}{\text{cm}^3} = \frac{10^{-19}}{\text{cm}}$$

sezione d'urto

densità

probabilità d'interazione

$L_V = 10^{19} \text{ cm}$
 ↓
 un $\bar{\nu}_e$ deve percorrere questa distanza prima d'interagire

All'interno del nucleo

$$B) \text{ dalle tabelle } 1 \text{ u} \rightarrow 931 \frac{\text{MeV}}{c^2}$$

$$Q = [M_N^1 \binom{A}{Z} - M_N \binom{A}{Z+1} - m_e] c^2 = \quad (m_p = 0)$$

$$= [M_N^1 \binom{A}{Z} - Z m_e - [M_N \binom{A}{Z+1} - (Z+1) m_e] - m_e] c^2 =$$

Formula di Weizsäcker

In fisica nucleare e subnucleare, la **formula di Weizsäcker**, anche nota come **formula semiempirica della massa** o **formula di Bethe-Weizsäcker** (spesso abbreviata in **SEMF**, dall'inglese *semi-empirical mass formula*), è una formula usata per approssimare la massa ed alcune altre proprietà del nucleo atomico.

Come suggerito dal nome, la formula è parzialmente basata su prove sperimentali, mentre il contributo teorico è dato dal **modello a goccia di liquido** dell'atomo (in inglese *liquid drop model*). La prima formulazione è dovuta al fisico tedesco Carl Friedrich von Weizsäcker, ed a parte piccole modifiche al valore dei coefficienti, l'espressione è rimasta la stessa fino ad oggi.

La formula

Sia A il numero di nucleoni, Z il numero di protoni ed N il numero di neutroni. La massa di un nucleo atomico è data da:

$$m = Zm_p + Nm_n - \frac{E_B}{c^2}$$

dove m_p ed m_n sono le masse a riposo di protone e neutrone, ed E_B è l'energia di legame del nucleo.

La formula semiempirica afferma che l'energia di legame sia data da:

$$E_B = a_V A - a_S A^{2/3} - a_C \frac{Z(Z-1)}{A^{1/3}} - a_A \frac{(A-2Z)^2}{A} + \delta(A, Z)$$

Termine di volume

Il primo termine $a_V A$ è conosciuto come termine di volume, ed è proporzionale al volume del nucleo: esso non dipende da Z ed è dovuto all'interazione nucleare forte agente sui nucleoni. Tale proporzionalità è dovuta al fatto che l'interazione forte ha un piccolo raggio d'azione, ed un singolo nucleone interagisce significativamente solo con i nucleoni vicini. Se così non fosse, cioè il raggio d'azione fosse maggiore, essendo le coppie di nucleoni tra le quali agisce tale forza $A(A-1)/2$, tale termine sarebbe proporzionale ad A^2 .

Il coefficiente a_V è più piccolo dell'energia di legame tra i nucleoni (E_b) che è dell'ordine di 40 MeV, questo perché l'energia cinetica è direttamente proporzionale al numero di nucleoni nel nucleo, a causa del principio di esclusione di Pauli: se si considera un nucleo, composto in ugual numero di protoni e neutroni, assumendo il modello di Fermi in cui l'energia cinetica totale è $3/5 A \epsilon_F$, con ϵ_F l'energia di Fermi di circa 38 MeV, il valore aspettato di a_V è:

$$E_b - \frac{3}{5} \epsilon_F \sim 17 \text{ MeV}$$

che è vicino al valore misurato.

Termine asimmetrico

Il termine

$$a_A \frac{(A - 2Z)^2}{A}$$

è conosciuto come termine asimmetrico. Il principio di esclusione di Pauli afferma che uno stato quantico non può essere occupato da più di due fermioni; ad un dato livello energetico, inoltre, c'è un finito numero di stati quantici disponibili per le particelle: ciò implica che se aggiungiamo particelle ad un nucleo, esse occuperanno livelli energetici sempre più alti, incrementando l'energia totale del nucleo e facendo diminuire, dopo un certo valore di A , l'energia di legame.

Protoni e neutroni, essendo tipi diversi di particelle, occupano stati quantici differenti, che intuitivamente possono essere visti come due recipienti, uno per i protoni e l'altro per i neutroni: ad esempio, se ci sono molti più neutroni che protoni, alcuni dei neutroni occuperanno, nel loro recipiente, un livello energetico più alto dei protoni. Se si potessero trasformare alcuni neutroni in eccesso in protoni, trasferendoli quindi nel recipiente di questi ultimi, l'energia diminuirebbe significativamente. Lo squilibrio tra i numeri dei due tipi di nucleoni causa quindi un eccesso di energia, e questo sta alla base del termine asimmetrico.

Usando il modello di fermi, l'energia cinetica totale è

$$E_k = \frac{3}{5} (N_p \varepsilon_{Fp} + N_n \varepsilon_{Fn})$$

dove N_p ed N_n sono il numero di protoni e neutroni, mentre ε_{Fp} ed ε_{Fn} sono le loro energie di Fermi. Dal momento che tali energie sono proporzionali a $N_p^{2/3}$ e $N_n^{2/3}$, allora:

$$E_k = C(N_p^{5/3} + N_n^{5/3})$$

con C costante. Lo sviluppo della differenza $N_n - N_p$ è:

$$E_k = \frac{C}{2^{2/3}} \left((N_p + N_n)^{5/3} + \frac{5}{9} \frac{(N_n - N_p)^2}{(N_p + N_n)^{1/3}} \right) + O((N_n - N_p)^2)$$

Al primo ordine dell'espansione l'energia cinetica è l'energia di Fermi $\varepsilon_F \equiv \varepsilon_{Fp} = \varepsilon_{Fn}$ moltiplicata per $\frac{3}{5}(N_p + N_n)^{2/3}$.

Si ottiene così:

$$E_k = \frac{3}{5} \varepsilon_F (N_p + N_n)^{2/3} + \frac{1}{3} \varepsilon_F \frac{(N_n - N_p)^2}{(N_p + N_n)} + O((N_n - N_p)^4) = \frac{3}{5} \varepsilon_F A^{2/3} + \frac{1}{3} \varepsilon_F \frac{(A - 2Z)^2}{A} + O((A - 2Z)^4)$$

Il primo termine contribuisce al termine di volume precedentemente descritto, il secondo termine è l'opposto del termine asimmetrico. ε_F è 38 MeV, così, calcolando a_A dalla precedente, si ottiene solo metà del valore misurato. La discrepanza tra i due valori è dovuta al fatto che i nucleoni non sono distribuiti uniformemente su tutto il nucleo, ma le loro funzioni d'onda si sovrappongono fornendo un'elevata energia di legame, e ciò porta protoni e neutroni ad avere gli stessi numeri quantici (oltre allo spin), incrementando l'intensità dell'asimmetria fra loro.

Collegamenti esterni

- Nuclear liquid drop model (<http://hyperphysics.phy-astr.gsu.edu/hbase/nuclear/liqdrop.html>)
- The semi-empirical mass formula (<http://www.phy.uct.ac.za/courses/phy300w/np/ch1/node22.html>)
- Liquid drop model (<http://hyperphysics.phy-astr.gsu.edu/hbase/nuclear/liqdrop.html>) in the hyperphysics (<http://hyperphysics.phy-astr.gsu.edu/HBASE/hframe.html>) online reference at Georgia State University.
- Liquid drop model with parameter fit (<http://www.phys.jyu.fi/research/gamma/publications/akthesis/node4.html>) from *First Observations of Excited States in the Neutron Deficient Nuclei $^{160,161}W$ and ^{159}Ta* , Alex Keenan, PhD thesis, University of Liverpool, 1999 (HTML version (<http://www.phys.jyu.fi/research/gamma/publications/akthesis/thesis.html>)).



Portale Chimica



Portale Meccanica quantistica